

# Starkniederschlagshöhen und -spenden gemäß KOSTRA-DWD-2020

## Rasterfeld 207110

(Zeile 207, Spalte 110)

### Regenspende und Bemessungsniederschlagswerte in Abhängigkeit von Wiederkehrzeit T und Dauerstufe D

| Dauerstufe D |     | Wiederkehrzeit T |            |      |            |      |            |       |            |       |            |       |            |       |            |       |            |       |            |
|--------------|-----|------------------|------------|------|------------|------|------------|-------|------------|-------|------------|-------|------------|-------|------------|-------|------------|-------|------------|
|              |     | 1 a              |            | 2 a  |            | 3 a  |            | 5 a   |            | 10 a  |            | 20 a  |            | 30 a  |            | 50 a  |            | 100 a |            |
| min          | Std | mm               | l / (s ha) | mm   | l / (s ha) | mm   | l / (s ha) | mm    | l / (s ha) | mm    | l / (s ha) | mm    | l / (s ha) | mm    | l / (s ha) | mm    | l / (s ha) | mm    | l / (s ha) |
| 5            |     | 7,7              | 256,7      | 9,3  | 310,0      | 10,3 | 343,3      | 11,6  | 386,7      | 13,4  | 446,7      | 15,3  | 510,0      | 16,6  | 553,3      | 18,2  | 606,7      | 20,6  | 686,7      |
| 10           |     | 10,4             | 173,3      | 12,5 | 208,3      | 13,9 | 231,7      | 15,6  | 260,0      | 18,1  | 301,7      | 20,7  | 345,0      | 22,4  | 373,3      | 24,6  | 410,0      | 27,8  | 463,3      |
| 15           |     | 12,1             | 134,4      | 14,6 | 162,2      | 16,1 | 178,9      | 18,1  | 201,1      | 21,0  | 233,3      | 24,1  | 267,8      | 26,0  | 288,9      | 28,6  | 317,8      | 32,3  | 358,9      |
| 20           |     | 13,3             | 110,8      | 16,1 | 134,2      | 17,8 | 148,3      | 20,0  | 166,7      | 23,2  | 193,3      | 26,5  | 220,8      | 28,7  | 239,2      | 31,6  | 263,3      | 35,6  | 296,7      |
| 30           |     | 15,1             | 83,9       | 18,3 | 101,7      | 20,2 | 112,2      | 22,7  | 126,1      | 26,4  | 146,7      | 30,2  | 167,8      | 32,7  | 181,7      | 35,9  | 199,4      | 40,5  | 225,0      |
| 45           |     | 17,1             | 63,3       | 20,6 | 76,3       | 22,8 | 84,4       | 25,7  | 95,2       | 29,8  | 110,4      | 34,1  | 126,3      | 36,9  | 136,7      | 40,5  | 150,0      | 45,8  | 169,6      |
| 60           | 1   | 18,6             | 51,7       | 22,4 | 62,2       | 24,8 | 68,9       | 27,9  | 77,5       | 32,4  | 90,0       | 37,0  | 102,8      | 40,0  | 111,1      | 44,0  | 122,2      | 49,7  | 138,1      |
| 90           | 1,5 | 20,8             | 38,5       | 25,1 | 46,5       | 27,7 | 51,3       | 31,2  | 57,8       | 36,2  | 67,0       | 41,4  | 76,7       | 44,8  | 83,0       | 49,3  | 91,3       | 55,6  | 103,0      |
| 120          | 2   | 22,5             | 31,3       | 27,1 | 37,6       | 30,0 | 41,7       | 33,8  | 46,9       | 39,2  | 54,4       | 44,8  | 62,2       | 48,5  | 67,4       | 53,3  | 74,0       | 60,2  | 83,6       |
| 180          | 3   | 25,0             | 23,1       | 30,2 | 28,0       | 33,4 | 30,9       | 37,6  | 34,8       | 43,7  | 40,5       | 49,9  | 46,2       | 54,0  | 50,0       | 59,4  | 55,0       | 67,1  | 62,1       |
| 240          | 4   | 27,0             | 18,8       | 32,6 | 22,6       | 36,1 | 25,1       | 40,6  | 28,2       | 47,1  | 32,7       | 53,9  | 37,4       | 58,3  | 40,5       | 64,1  | 44,5       | 72,4  | 50,3       |
| 360          | 6   | 30,1             | 13,9       | 36,3 | 16,8       | 40,1 | 18,6       | 45,2  | 20,9       | 52,4  | 24,3       | 59,9  | 27,7       | 64,8  | 30,0       | 71,3  | 33,0       | 80,5  | 37,3       |
| 540          | 9   | 33,4             | 10,3       | 40,3 | 12,4       | 44,6 | 13,8       | 50,2  | 15,5       | 58,3  | 18,0       | 66,6  | 20,6       | 72,1  | 22,3       | 79,2  | 24,4       | 89,5  | 27,6       |
| 720          | 12  | 36,0             | 8,3        | 43,4 | 10,0       | 48,0 | 11,1       | 54,1  | 12,5       | 62,8  | 14,5       | 71,8  | 16,6       | 77,7  | 18,0       | 85,4  | 19,8       | 96,4  | 22,3       |
| 1080         | 18  | 40,0             | 6,2        | 48,2 | 7,4        | 53,3 | 8,2        | 60,1  | 9,3        | 69,7  | 10,8       | 79,7  | 12,3       | 86,2  | 13,3       | 94,8  | 14,6       | 107,1 | 16,5       |
| 1440         | 24  | 43,1             | 5,0        | 51,9 | 6,0        | 57,5 | 6,7        | 64,7  | 7,5        | 75,1  | 8,7        | 85,9  | 9,9        | 92,9  | 10,8       | 102,1 | 11,8       | 115,3 | 13,3       |
| 2880         | 48  | 51,5             | 3,0        | 62,1 | 3,6        | 68,7 | 4,0        | 77,3  | 4,5        | 89,8  | 5,2        | 102,6 | 5,9        | 111,1 | 6,4        | 122,1 | 7,1        | 137,9 | 8,0        |
| 4320         | 72  | 57,1             | 2,2        | 68,9 | 2,7        | 76,2 | 2,9        | 85,8  | 3,3        | 99,7  | 3,8        | 113,9 | 4,4        | 123,3 | 4,8        | 135,5 | 5,2        | 153,0 | 5,9        |
| 5760         | 96  | 61,5             | 1,8        | 74,2 | 2,1        | 82,1 | 2,4        | 92,4  | 2,7        | 107,3 | 3,1        | 122,7 | 3,6        | 132,7 | 3,8        | 145,9 | 4,2        | 164,8 | 4,8        |
| 7200         | 120 | 65,1             | 1,5        | 78,6 | 1,8        | 86,9 | 2,0        | 97,9  | 2,3        | 113,7 | 2,6        | 129,9 | 3,0        | 140,6 | 3,3        | 154,5 | 3,6        | 174,5 | 4,0        |
| 8640         | 144 | 68,3             | 1,3        | 82,4 | 1,6        | 91,1 | 1,8        | 102,6 | 2,0        | 119,1 | 2,3        | 136,2 | 2,6        | 147,3 | 2,8        | 161,9 | 3,1        | 182,9 | 3,5        |
| 10080        | 168 | 71,0             | 1,2        | 85,7 | 1,4        | 94,8 | 1,6        | 106,7 | 1,8        | 123,9 | 2,0        | 141,7 | 2,3        | 153,3 | 2,5        | 168,5 | 2,8        | 190,3 | 3,1        |

# Starkniederschlagshöhen und -spenden gemäß KOSTRA-DWD-2020

## Rasterfeld 207110

(Zeile 207, Spalte 110)

### Örtliche Unsicherheiten in Abhängigkeit von Wiederkehrzeit T und Dauerstufe D

| Dauerstufe D |     | Wiederkehrzeit T |     |     |     |      |      |      |      |       |
|--------------|-----|------------------|-----|-----|-----|------|------|------|------|-------|
|              |     | 1 a              | 2 a | 3 a | 5 a | 10 a | 20 a | 30 a | 50 a | 100 a |
| min          | Std | ± %              | ± % | ± % | ± % | ± %  | ± %  | ± %  | ± %  | ± %   |
| 5            |     | 12               | 13  | 13  | 14  | 14   | 15   | 15   | 15   | 15    |
| 10           |     | 17               | 18  | 18  | 19  | 19   | 20   | 20   | 20   | 21    |
| 15           |     | 19               | 20  | 21  | 21  | 22   | 22   | 22   | 23   | 23    |
| 20           |     | 20               | 21  | 22  | 22  | 23   | 23   | 24   | 24   | 24    |
| 30           |     | 21               | 22  | 23  | 23  | 24   | 24   | 25   | 25   | 25    |
| 45           |     | 21               | 22  | 23  | 24  | 24   | 25   | 25   | 25   | 26    |
| 60           | 1   | 21               | 22  | 23  | 23  | 24   | 25   | 25   | 25   | 26    |
| 90           | 1,5 | 21               | 22  | 22  | 23  | 24   | 24   | 24   | 25   | 25    |
| 120          | 2   | 20               | 21  | 22  | 22  | 23   | 23   | 24   | 24   | 25    |
| 180          | 3   | 19               | 20  | 21  | 21  | 22   | 22   | 23   | 23   | 23    |
| 240          | 4   | 18               | 19  | 20  | 20  | 21   | 22   | 22   | 22   | 23    |
| 360          | 6   | 17               | 18  | 19  | 19  | 20   | 21   | 21   | 21   | 22    |
| 540          | 9   | 16               | 17  | 18  | 18  | 19   | 19   | 20   | 20   | 20    |
| 720          | 12  | 16               | 17  | 17  | 18  | 18   | 19   | 19   | 19   | 20    |
| 1080         | 18  | 15               | 16  | 16  | 17  | 17   | 18   | 18   | 18   | 19    |
| 1440         | 24  | 14               | 15  | 15  | 16  | 16   | 17   | 17   | 17   | 18    |
| 2880         | 48  | 14               | 14  | 14  | 15  | 15   | 16   | 16   | 16   | 16    |
| 4320         | 72  | 13               | 14  | 14  | 14  | 15   | 15   | 15   | 15   | 16    |
| 5760         | 96  | 13               | 14  | 14  | 14  | 14   | 15   | 15   | 15   | 15    |
| 7200         | 120 | 14               | 14  | 14  | 14  | 14   | 15   | 15   | 15   | 15    |
| 8640         | 144 | 14               | 14  | 14  | 14  | 14   | 15   | 15   | 15   | 15    |
| 10080        | 168 | 14               | 14  | 14  | 14  | 14   | 15   | 15   | 15   | 15    |

### Parameter für abweichende T und D

#### Lokationsparameter $\xi$ (Xi)

19,06611125

#### Skalenparameter $\alpha$ (Alpha)

5,47482562

#### Formparameter $\kappa$ (Kappa)

-0,1

#### 1. Koutsoyiannis-Parameter $\theta$ (Theta)

0,03640682

#### 2. Koutsoyiannis-Parameter $\eta$ (Eta)

0,74317039

Parameter für dauerstufenübergreifende Extremwertschätzung nach KOUTSOYIANNIS et al. 1998.

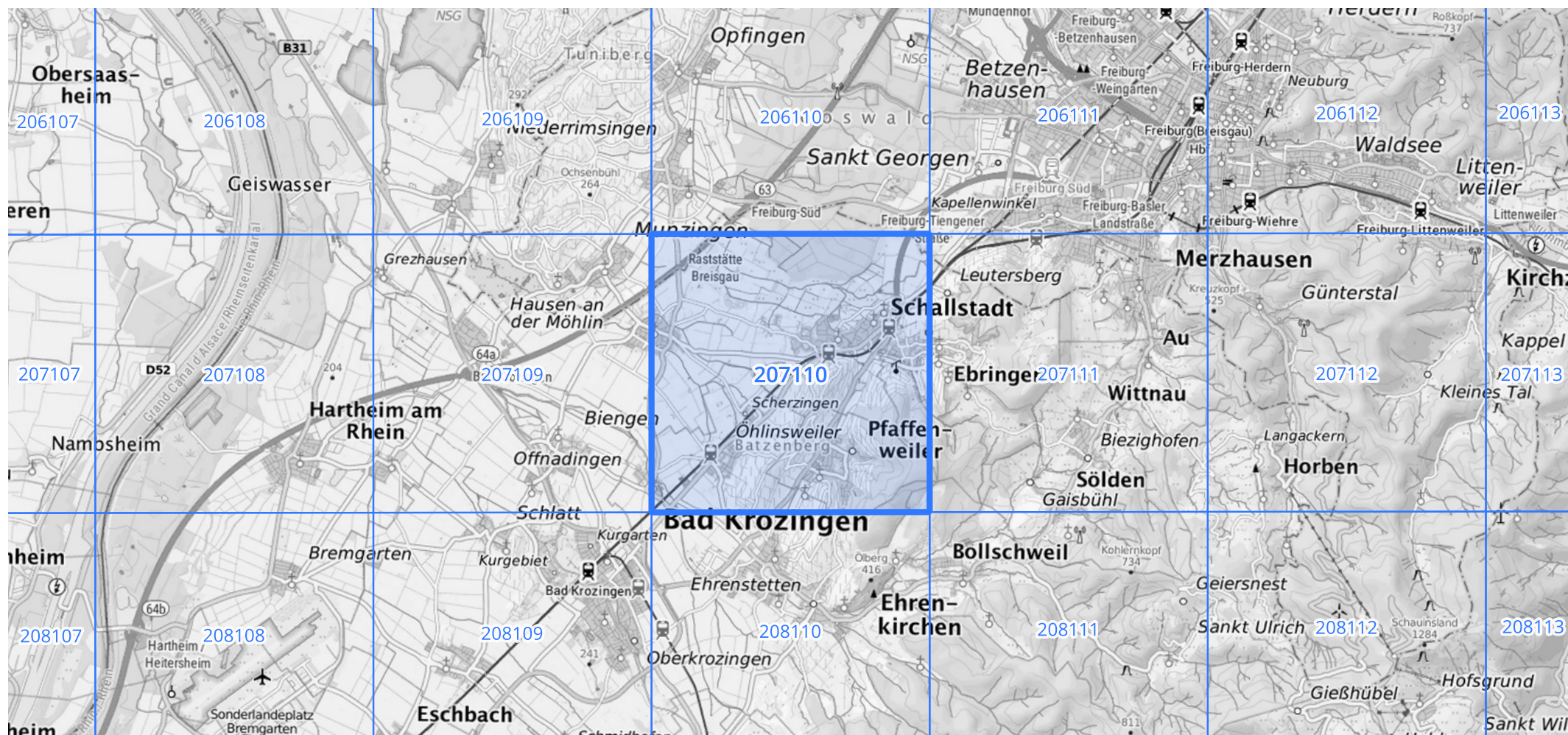
Siehe auch Anwendungshilfe zu KOSTRA-DWD-2020 des Deutschen Wetterdienstes.

# Starkniederschlagshöhen und -spenden gemäß KOSTRA-DWD-2020

## Rasterfeld 207110

(Zeile 207, Spalte 110)

Übersichtskarte des Rasterfeldes 207110, M 1 : 100 000



Quelle Rasterdaten: KOSTRA-DWD-2020 des Deutschen Wetterdienstes, Stand 12/2022.

Seite 3 von 3

Kartendarstellung: © Bundesamt für Kartographie und Geodäsie (2023), Datenquellen: [https://sgx.geodatenzentrum.de/web\\_public/gdz/datenquellen/Datenquellen\\_TopPlusOpen.html](https://sgx.geodatenzentrum.de/web_public/gdz/datenquellen/Datenquellen_TopPlusOpen.html)

Für die Richtigkeit und Aktualität der Angaben wird keine Gewähr übernommen. Erstellt 01/2023.